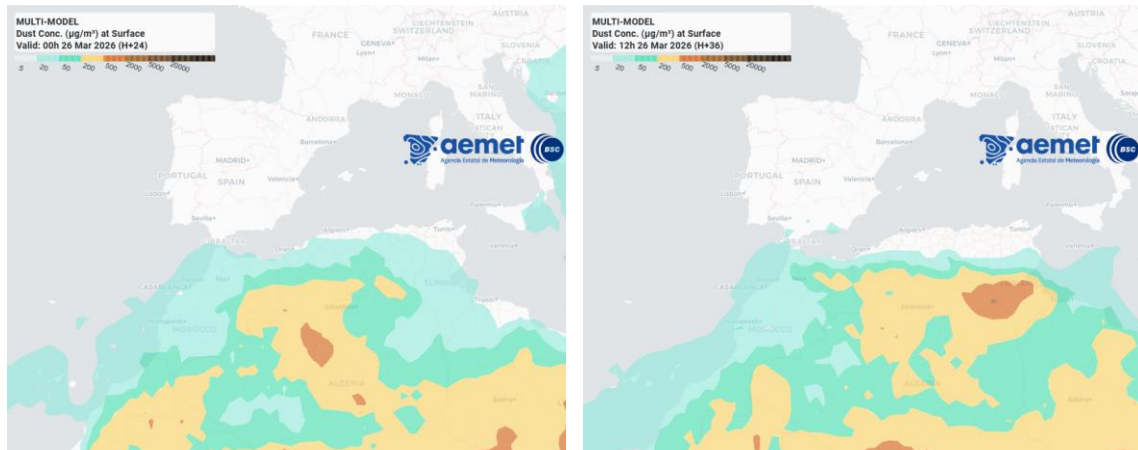


Predicción de intrusión de masas de aire africano sobre España para el día 26 de marzo de 2026

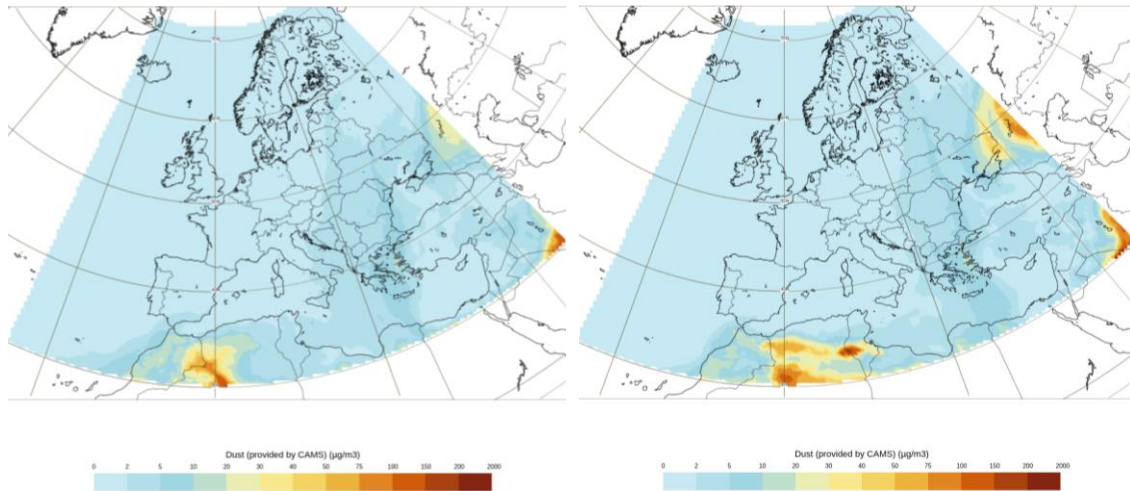
Los modelos consultados prevén la presencia de masas de aire africano sobre la Península y las islas Canarias para el día 26 de marzo. Estiman concentraciones de polvo en superficie en el rango $5\text{-}20\ \mu\text{g}/\text{m}^3$ para las islas Canarias y el suroeste y sureste peninsular. Según el modelo SKIRON también se podría producir depósito seco de polvo sobre el sureste de la Península y depósito seco y húmedo sobre las islas Canarias a lo largo del día.

El resultado de la comparación de varios modelos proporcionado por el Barcelona Dust Regional Center prevé la presencia de masas de aire africano sobre la Península y las islas Canarias para el día 26 de marzo. Estima concentraciones de polvo en superficie en el rango $5\text{-}20\ \mu\text{g}/\text{m}^3$ para las islas Canarias y el suroeste y sureste peninsular.



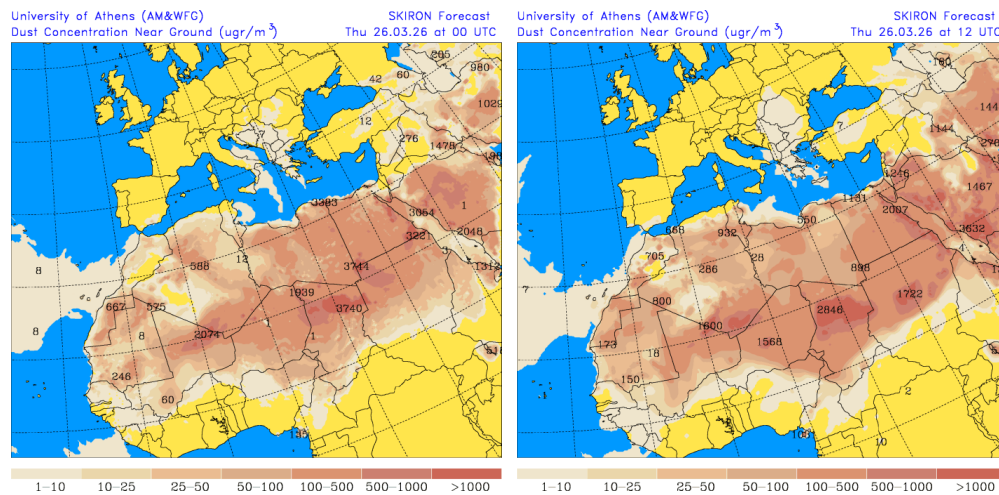
Resultado de la comparación de varios modelos de predicción de concentración de polvo ($\mu\text{g}/\text{m}^3$) para el día 26 de marzo de 2026 a las 00h y 12h UTC. © Barcelona Dust Regional Center.

El resultado de la comparación de varios modelos proporcionado por el Copernicus Atmosphere Monitoring Service (CAMS) no prevé la presencia de masas de aire africano sobre la Península ni las islas Baleares en concentraciones superiores a $10\ \mu\text{g}/\text{m}^3$ para el día 26 de marzo.



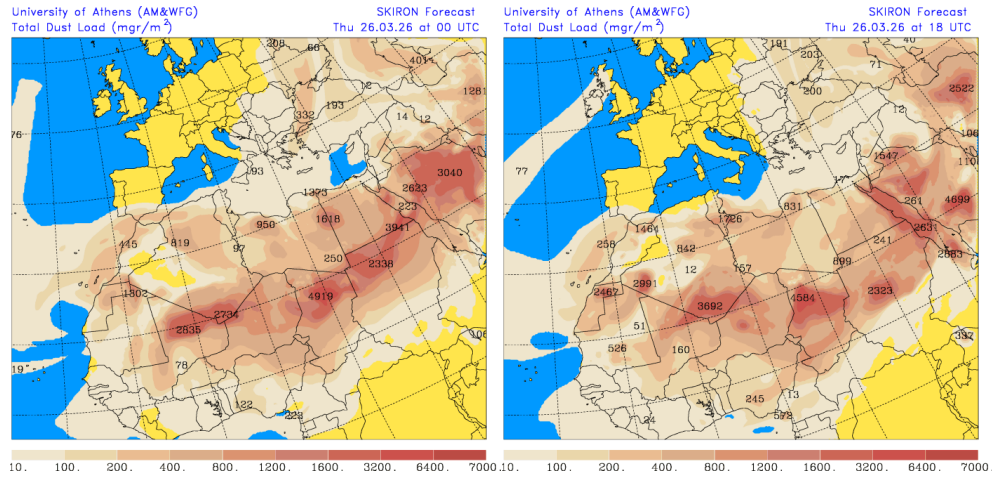
Resultado de la comparación de varios modelos de predicción de concentración de polvo ($\mu\text{g}/\text{m}^3$) para el día 26 de marzo de 2026 a las 00h y 12h UTC. © Copernicus Atmosphere Monitoring Service (CAMS).

El modelo SKIRON prevé también la presencia de masas de aire africano sobre la Península y las islas Canarias para el día 26 de marzo. Estima concentraciones de polvo en superficie en el rango $1\text{-}50 \mu\text{g}/\text{m}^3$ para el sureste peninsular y $1\text{-}25 \mu\text{g}/\text{m}^3$ para el archipiélago canario.

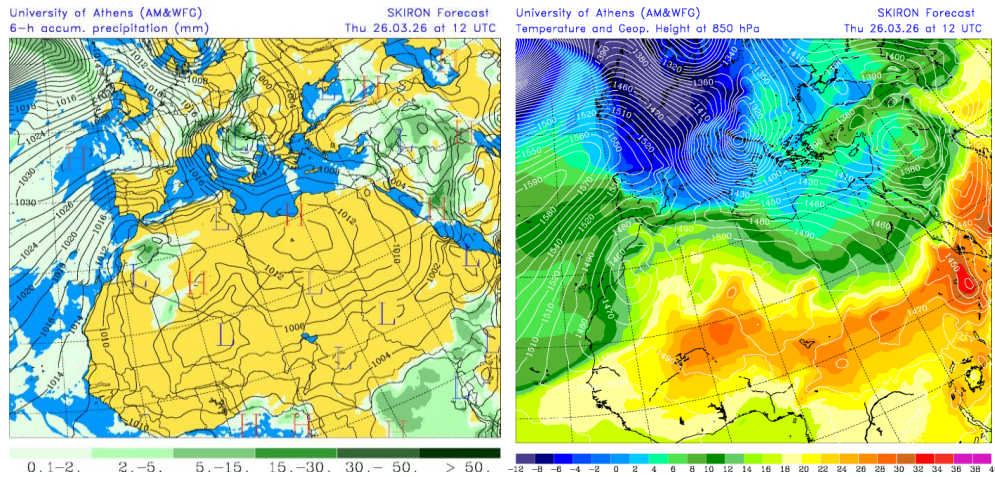


Concentración de polvo ($\mu\text{g}/\text{m}^3$) predicha por el modelo SKIRON para el día 26 de marzo de 2026 a las 00 y 12 UTC © Universidad de Atenas.

Los mapas de carga total de polvo, así como los de presión a nivel del mar y altura geopotencial a nivel de 850 hPa proporcionados por el modelo SKIRON, muestran el transporte de masas de aire africano en altura sobre el sur de la Península y las islas Canarias durante el día 26 de marzo.

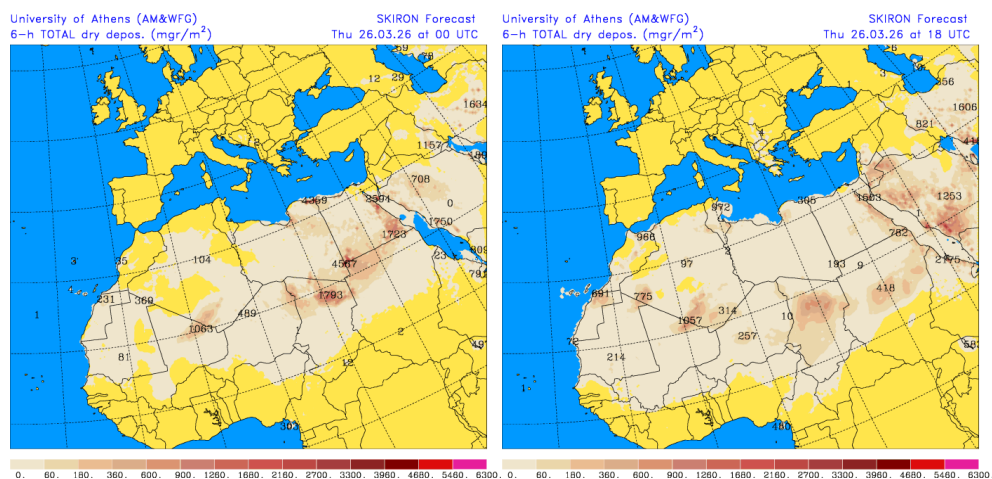


Carga total de polvo (mg/m²) predicha por el modelo SKIRON para el día 26 de marzo de 2026 a las 00 y 18 UTC © Universidad de Atenas.

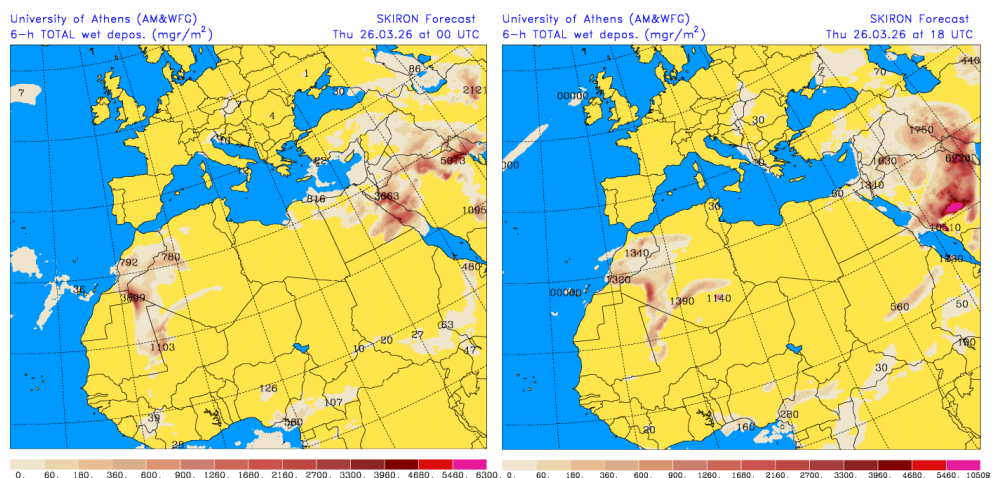


Precipitación acumulada (mm) y presión a nivel del mar (hPa) (izquierda) y campo de temperaturas (°C) y de altura geopotencial a 850 hPa (derecha) previsto por el modelo SKIRON para el día 26 de marzo de 2026 a las 12 UTC © Universidad de Atenas.

Según el modelo SKIRON también se podría producir depósito seco de polvo sobre el sureste de la Península y depósito seco y húmedo sobre las islas Canarias a lo largo del día 26 de marzo.



Depósito seco de polvo (mg/m^2) predicho por el modelo SKIRON para el día 26 de marzo de 2026 a las 00 y 18 UTC © Universidad de Atenas.



Depósito húmedo de polvo (mg/m^2) predicho por el modelo SKIRON para el día 26 de marzo de 2026 a las 00 y 18 UTC © Universidad de Atenas.

Fecha de la predicción: 25 de marzo de 2026

Predicción elaborada por Noemí Pérez (IDAEA-CSIC)

Los datos son propiedad de la Dirección General de Calidad y Evaluación Ambiental, del Ministerio para la Transición Ecológica, y han sido obtenidos y se suministran en el marco del “Encargo del Ministerio para la Transición Ecológica a la Agencia Estatal Consejo Superior de Investigaciones Científicas para la detección de episodios naturales de aportes transfronterizos de partículas y otras fuentes de contaminación de material particulado, y de formación de ozono troposférico”.